Zusammenstellung ausgewählter Archivunterlagen der GeoSphere Austria

GEOFAST 1:50 000

68 - Kirchdorf a. d. Krems

Stand: 2023
Ausgabe: 2023/06

Lage der Darstellung in Österreich
mit Blattraster ÖK50
1 : 5 000 000

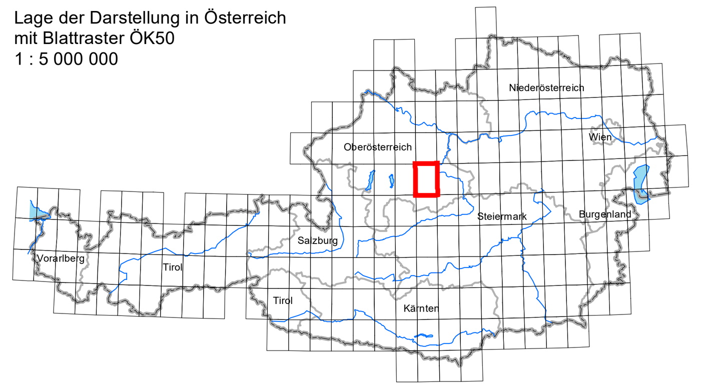

Geologisch-tektonische Übersicht 1: 400 000

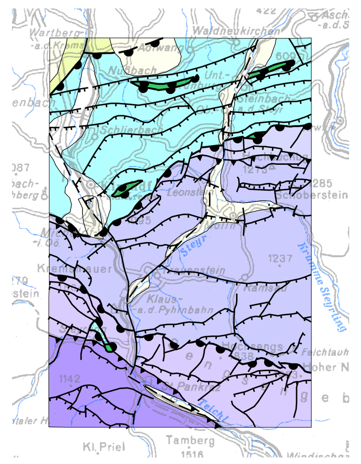

Oberpliozäne und Quartäre Ablagerungen

Quartäre Ablagerungen

Holozäne Ablagerungen

- Holozäne Ablagerungen

Pleistozäne Ablagerungen

- Pleistozäne Ablagerungen

Alpidisches Orogen

Allochthone Molasse

- Allochthone Molasse

Ostalpin

Oberostalpin

Tirolisch-Norisches Deckensystem / Tirolisches Deckensystem

- Totes-Gebirge-Decke
- Stauffen-Höllen Gebirge-Decke

Bajuvarisches Deckensystem

- Reichraming-Decke
- Ternberg-Decke

Penninikum

Untere Penninische Decken

Rhenodanubisches Deckensystem

- Rhenodanubisches Deckensystem

Helvetikum, Ultrahelvetikum, "Klippenzonen"

Ultrahelvetikum

- Ultrahelvetikum

GeoSphere Austria

Bundesanstalt für Geologie, Geophysik, Klimatologie und Meteorologie

Erhältlich im Verlag der GeoSphere Austria - www.geosphere.at, A-1190 Wien, Hohe Warte 38.

© 2023 GeoSphere Austria, Datensatz publiziert unter www.tethys.at - Topografie Stand 2020, © BEV - Bundesamtes für Eich- und Vermessungswesen CC BY 4.0

Projektbeauftragung: E. Hintersberger,
Projektleitung: G. E. U. Griesmeier,
Redaktion: O. Kreuss,
GIS-Datenbank: I. Bayer,
Layout: I. Bayer

Übersicht der eingearbeiteten Karten

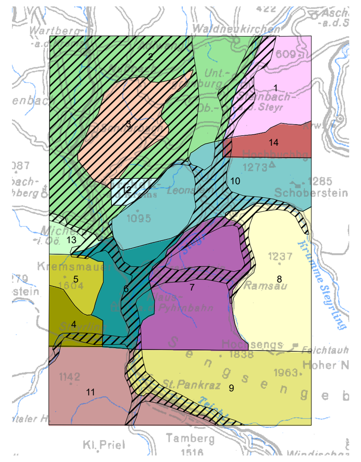

1	R. Braunstingl, 1988
2	S. Ćorić, 2017-2022
3	H. Egger, 2017-2019
4	T. Hornung, 2013b
5	T. Hornung, 2013 a
6	T. Hornung, 2014
7	T. Hornung, 2015
8	T. Hornung, 2016
9	T. Hornung, 2017
10	T. Hornung, 2019 b
11	T. Hornung, 2019 a
12	H. Maurer, 1971
13	M. Moser, 2017 a
14	M. Moser, 2017 b
15	D. van Husen, 2002-2021 mit Unterbrechungen

Kompilation:

G. E. U. Griesmeier (GeoSphere Austria) & T. Hornung (2023)

Unter Verwendung Laserscan:
DORIS

Hinweis für Nutzer/-innen

GEOFAST-Karten werden überwiegend aus Archivunterlagen der GeoSphere Austria erstellt. Ergänzend können auch publizierte Karten, meist älteren Datums, in die Zusammenstellung einfließen. Eine Überprüfung durch zusätzliche Geländebegehungen erfolgt nicht. Diskontinuitäten zwischen den verwendeten Kartenunterlagen verschiedener Autoren werden bewusst beibehalten und können sich als Sprünge in den Konturlinien äußern. Geologische Inhalte werden in die aktuellen stratigrafischen und tektonischen Modelle überführt. Aufgrund der Übertragung der geologischen Inhalte von Karten mit veralteter Topografie und größeren Maßstäben in die aktuelle topografische Grundlage sind Lageungenauigkeiten vorhanden.

QUARTÄRE SEDIMENTE UND FORMEN

Holozän:

- 1 Anthropogene Aufschüttung, Ablagerung
- 2 Dammbauwerk
- 3 Bach- und Flussablagerung (Silt, Sand, Kies, Steine)
- 4 Wildbachablagerung (Schutt)
- 5 Schwemmfächer, Schwemmkegel (Silt, Sand, Kies)
- 6 Schuttkegel
- 7 Palustrische Ablagerung, Torf, Gyttja
- 8 Felssturzablagerung (Steine, Blöcke)
- 11 Flussablagerung (Silt, Sand, Kies)
- 12 Hangablagerung (Lehm, Schutt)
- 13 Hangablagerung (Steine, Blöcke)
- 14 Murenablagerung (Schutt)
- 15 Schuttstromablagerung
- 16 Schwemmlöss (Silt)
- 17 Solifluktions- und Flächenspülungsablagerung (Lehm, Silt, Sand, Kies)
- 846 Zerrspalte, Zerrgraben, Bergzerreißung
- 18 Abrisskante einer Massenbewegung
- 847 Antithetischer Bruch
- 21 Gravitative Ablagerung (Schutt, Blöcke)
- 22 Kriechmasse (Schutt)
- 23 Bereich langsamen Fließens
- 25 Bergsturzablagerung (Blöcke)
- 26 Fließmasse (Schutt)
- 27 Gleitmasse im Verband
- 28 Massenbewegungswall
- 842 Erosionskante, Geländekante, Terrassenkante

Pleistozän – Würm:

- 31 Eisrandablagerung (Sand, Kies)
- 32 Glaziofluviatile Ablagerung, Niederterrasse (Schotter)
- 33 Moränenablagerung (Diamikt)
- 34 End- und Seitenmoränenwall
- 35 Erratika, Würm
- 36 Hangbrekzie (Riß/Würm)

Pleistozän – Riß:

- 37 Eisrandablagerung (Sand, Kies)
- 38 Glaziofluviatile Ablagerung, Hochterrasse (Schotter)
- 39 Moränenablagerung (Diamikt)
- 40 Moränenstreu
- 41 Erratika, Riß
- 42 Große Erratika, Riß

Pleistozän – Mindel:

- 43 Glaziofluviatile Ablagerung, Jüngere Deckenschotter (Schotter)
- 44 Moränenablagerung (Diamikt)
- 45 End- und Seitenmoränenwall
- 46 Erratika, Mindel

ALLOCHTHONE MOLASSE

- 47 Hall-Formation (hellgrauer glimmeriger Tonmergel, Silt, Sand, Konglomerat; Eggenburgium)
- 48 Untere Puchkirchen-Formation (grauer und brauner glimmeriger Tonmergel, Silt, Sand, Konglomerat; unteres Egerium)

OSTALPIN

OBEROSTALPIN

Tirolisch-Norisches Deckensystem

Totes-Gebirge-Decke

- 108 Kössen-Formation, Schattwald-Formation (Mergel- bis Kalkstein, dunkel, Tonmergel, rot; Rhätium)
- 109 Plattenkalk, Dachsteinkalk (Wechsellagerung von hellgrauem dickbankigen Kalk und Dolomit; Norium)
- 110 Hauptdolomit (hellbrauner bis grauer, gebankter Dolomit; Norium)
- 111 Hauptdolomit mit überwiegend kalkigen Anteilen (Norium)
- 112 Lunz-Formation (dunkelbrauner bis schwarzer Tonstein und mittelbrauner feinkörniger Sandstein; Karnium)
- 113 Wetterstein-Formation (klüftiger, massig bis schlecht gebankter, heller Dolomit; Ladinium - Karnium)
- 114 Wetterstein-Formation (weißer bis hellgrauer, dickbankiger bis massiger Kalk; Ladinium - Karnium)
- 115 Reifling-Formation (grauer, wellig bis knollig geschichteter Hornsteinkalk mit Einschaltungen von allodapischen Kalkbänken (=Raminger Kalk); oberes Anisium - Ladinium)
- 116 Gutenstein-Formation, örtlich inklusive Steinalmkalk (dunkelgrauer, kalzitgeäderter Kalk, ebenflächig bis wellig geschichtet; gelegentlich mit Einschaltungen von hellem Flachwasserkalk; unteres Anisium)

Stauffen-Höllengebirge-Decke

- 100 Hauptdolomit (hellbrauner bis grauer, gebankter Dolomit; Norium)
- 101 Hauptdolomit mit überwiegend kalkigen Anteilen (Norium)
- 102 Opponitz-Formation (hellgrauer, gebankter Kalk oder Mergelkalk, manchmal "rauwackig"; Karnium)
- 103 Lunz-Formation (dunkelbrauner bis schwarzer Tonstein und mittelbrauner feinkörniger Sandstein; Karnium)
- 104 Wetterstein-Formation (klüftiger, massig bis schlecht gebankter, heller Dolomit; Ladinium - Karnium)
- 105 Wetterstein-Formation (weißer bis hellgrauer, dickbankiger bis massiger Kalk; Ladinium - Karnium)
- 106 Reifling-Formation (grauer, wellig bis knollig geschichteter Hornsteinkalk mit Einschaltungen von allodapischen Kalkbänken (=Raminger Kalk); oberes Anisium - Ladinium)
- 107 Gutenstein-Formation, örtlich inklusive Steinalmkalk (dunkelgrauer, kalzitgeäderter Kalk, ebenflächig bis wellig geschichtet; gelegentlich mit Einschaltungen von hellem Flachwasserkalk; unteres Anisium)

Bajuvarisches Deckensystem

Reichraming-Decke

- 75 Rossfeld-Formation (Sandstein, siltiger Mergel; oberes Valanginium)
- 76 Schrambach-Formation (hellgrauer, mikritischer Mergelkalk, Kalk-Mergel-Rhythmite; Berriasium - Barremium)
- 77 Oberalm-Formation (dünnbankiger, grauer Kalk, oft Hornstein führend; Tithonium - Berriasium)
- 78 Ammergau-Formation ("Aptychenkalk", grünlich-grauer bioturbater Mergelkalk; Tithonium - Berriasium)
- 79 Steinmühlkalk (Kalkstein, rot, rosa bis hellgrün; Kimmeridgium - Berriasium)
- 80 Mikritooidkalk (blass rötlich bis bräunlicher, massiger Peloid-Mikrit, Mikritooidkalk; Oxfordium)
- 81 Ruhpolding-Formation (roter und grüner Radiolarit, Hornsteinkalk; oberstes Callovium - Oxfordium)
- 82 Chiemgau-Formation (dünnbankiger, kieseliger Spatkalk; Mitteljura)
- 83 Bunter Jurakalk i.a. (Melange aus bunten Kalksteinen, grau, rot, violett; Unterjura - Mitteljura)
- 84 Vilser Kalk (heller Crinoidenspatkalk; Mitteljura)
- 85 Klauskalk-Formation (roter Knollenkalk; Mitteljura)
- 86 Adnet-Formation (roter Knollenkalk; Unterjura)
- 87 Hierlatzkalk (Crinoidenspatkalk, rot, massig; Unterjura)
- 88 Scheibelberg-Formation ("Liaskieselkalk", gebankter Hornsteinknollenkalk; Unterjura)
- 89 Allgäu-Formation (gebankter Fleckenkalk und Fleckenmergel; Unterjura)
- 90 "Oberrhätkalk" (braun, dickbankig, Detrituskalk, oolitischer Kalk; oberes Rhätium)
- 91 Kössen-Formation, Schattwald-Formation (Mergel- bis Kalkstein, dunkel, Tonmergel, rot; Rhätium)
- 92 Plattenkalk, Dachsteinkalk (Wechsellagerung von hellgrauem dickbankigen Kalk und Dolomit; Norium)
- 93 Hauptdolomit (hellbrauner bis grauer, gebankter Dolomit; Norium)
- 94 Hauptdolomit mit überwiegend kalkigen Anteilen (Norium)
- 96 Opponitz-Formation (hellgrauer, gebankter Kalk oder Mergelkalk, manchmal "rauwackig"; Karnium)
- 97 Lunz-Formation (dunkelbrauner bis schwarzer Tonstein und mittelbrauner feinkörniger Sandstein; Karnium)
- 98 Wetterstein-Formation (weißer bis hellgrauer, dickbankiger bis massiger Kalk; Ladinium - Karnium)
- 99 Reifling-Formation (grauer, wellig bis knollig geschichteter Hornsteinkalk mit Einschaltungen von allodapischen Kalkbänken (=Raminger Kalk); oberes Anisium - Ladinium)

Ternberg-Decke

- 65 Losenstein-Formation (Tonstein, Siltstein, Sandstein, Konglomerat; Aptium - Cenomanium)
- 66 Mikritooidkalk (blass rötlich bis bräunlicher, massiger Peloid-Mikrit, Mikritooidkalk; Oxfordium)
- 67 Bunter Jurakalk i.a. (Melange aus bunten Kalksteinen, grau, rot, violett; Unterjura - Mitteljura)
- 68 Klauskalk-Formation (roter Knollenkalk; Mitteljura)
- 69 Allgäu-Formation (gebankter Fleckenkalk und Fleckenmergel; Unterjura)
- 70 "Oberrhätkalk" (braun, dickbankig, Detrituskalk, oolitischer Kalk; oberes Rhätium)
- 71 Kössen-Formation, Schattwald-Formation (Mergel- bis Kalkstein, dunkel, Tonmergel, rot; Rhätium)
- 72 Plattenkalk, Dachsteinkalk (Wechsellagerung von hellgrauem dickbankigen Kalk und Dolomit; Norium)
- 73 Hauptdolomit (hellbrauner bis grauer, gebankter Dolomit; Norium)
- 74 Opponitz-Formation (hellgrauer, gebankter Kalk oder Mergelkalk, manchmal "rauwackig"; Karnium)

PENNINIKUM

UNTERE PENNINISCHE DECKEN

Rhenodanubisches Deckensystem

- 52 Altlengbach-Formation i. Allg. (quarz- und glimmerreicher Sandstein, Kalksandstein, Kalkmergel, Mergel, Tonstein; oberes Campanium - Thanetium)
- 53 Acharting-Subformation (tonmergelreicher, dünn- bis mittelbankiger Flysch mit "Mürbsandsteinbänken"; Paläozän)
- 54 Acharting-Subformation (tonmergelreicher, dünn- bis mittelbankiger Flysch mit "Mürbsandsteinbänken"; Maastrichtium)
- 55 Kotgraben-Subformation (sandsteinreicher, mittel- bis dickbankiger Flysch; Maastricht)
- 56 Ahornleiten-Subformation (kalkmergelreicher, mittel- bis dickbankiger Flysch; Maastricht)
- 57 Roßgraben-Subformation (sandsteinreicher, mittel- bis dickbankiger Flysch)
- 58 Perneck-Formation (Wechsellagerung von dm-gebankten Siltsteinturbiditen mit roten und grünen hemipelagischen Tonsteinen; oberes Campanium)
- 59 Kalkgraben-Formation (mittelbankige Turbidite aus Kalksandstein, Kalksiltstein mit roten und grünen hemipelagischen Tonsteinen; mittleres Campanium)
- 60 Piesenkopf-Formation (dünnbankige Turbidite aus Kalksiltstein und Kalkmergel, manchmal grüne hemipelagische Tonsteine; Unteres Campanium)
- 61 Seisenburg-Formation (Wechsellagerung von dm-gebankten Siltsteinturbiditen mit roten und grünen hemipelagischen Tonsteinen; mittleres Coniacium - unteres Campanium)
- 62 Reiselsberg-Formation (quarz- und glimmerreicher Sandstein und dunkelgrauer Tonstein; Cenomanium - unteres Coniacium)
- 63 Rehbreingraben-Formation ("Gaultflysch"; glaukonitführender Quarzsandstein, dunkelgrauer und bioturbater grüner Tonstein; Aptium - Albium)
- 64 Tristel-Formation ("Neokom-Flysch"; turbiditische Abfolge von Sandkalk, Siltstein und Mergel; Aptium)

HELVETIKUM

ULTRAHELVETIKUM

- 49 Ultrahelvetikum ungegliedert (Tonstein, Mergelstein; Oberkreide - Paläogen)
- 50 Buntmergelserie (roter, grüner, grauer Tonmergel und Kalkmergel; Albium - Cenomanium)
- 51 Gresten-Formation (Sandstein)

Diverse Zeichen

- 900 Kataklasit
- Störung (gesichert)
- Störung (vermutet)
- Deckengrenze höherer Ordnung (gesichert)
- Deckengrenze höherer Ordnung (vermutet)
- Deckengrenze (gesichert)
- Deckengrenze (vermutet)
- Schuppengrenze (gesichert)
- Schuppengrenze (vermutet)

Streichen und Fallen der Schieferung und Schichtung

- 0 - 5°
- 6 - 30°
- 31 - 60°
- 61 - 85°
- 86 - 90°

Streichen und Fallen der Schieferung und Schichtung bei verkehrter Lagerung

- 6 - 30°
- 31 - 60°
- 61 - 85°

Streichen und Fallen der Achsenfläche

- 6-30°
- 31-60°

Sonstige

- Bohrung
- Steinbruch
- Höhle
- Quelle
- Erdfall, Pinge
- Doline

1 : 50 000 (1 cm ≙ 500 m)

500 0 1000 2000 3000 4000 5000 m

Gauß-Krüger-Abbildung, Koordinatensystem M 31 des Bundesmeldenetzes